

Janusz WALCZAK

Instytut Techniki Ciepłej i Silników Spalinowych  
Politechniki PoznańskiejROZKŁADY PRĘDKOŚCI I NAPRĘŻENIA STYCZNE NA ŚCIANCE TRÓJWYMIAROWEJ  
TURBULENTNEJ WARSTWY PRZYŚCIENNEJ W PRZEPŁYWIE PRZEZ RÓWNOLEGŁOTAR-  
CZOWY DYFUZOR BEZŁOPATKOWY

**Streszczenie:** W pracy autora [8] doświadczalne rozkłady prędkości, dla trójwymiarowej warstwy przyściennej, występujące w równoległotarczowym dyfuzorze bezłopatkowym, aproksymowano odpowiednimi wzorami potęgowymi. Na podstawie tych rozkładów potęgowych oraz formuły Ludwiga i Tillmanna, opracowanej dla dwuwymiarowych warstw przyściennych, wyznaczono lokalne współczynniki tarcia na ścianie. W poniższym artykule dokonano oceny w jakim stopniu, ustalone przez autora, potęgowe rozkłady prędkości dla trójwymiarowej warstwy przyściennej spełniają uniwersalne rozkłady prędkości. Skorzystano tutaj z pracy Pierca i Zimmermanna [5], którzy wykazują, że również w trójwymiarowej warstwie przyściennej obowiązują rozkłady uniwersalne prędkości w postaci jak dla warstw dwuwymiarowych. Z przeprowadzonej tutaj analizy wynika, że przyjęte potęgowe rozkłady prędkości i wyznaczone z nich lokalne współczynniki tarcia ścianki [8], dla zakresu liczb Reynoldsa występujących w dyfuzorach bezłopatkowych sprężarek i dmuchaw promieniowych, wykazują dość dobrą zgodność z uniwersalnym, logarytmicznym rozkładem prędkości.

Oznaczenia:

- A - parametr,  
 b - szerokość dyfuzora,  
 C, D, K - stałe w uniwersalnym rozkładzie prędkości,  
 c - prędkość wypadkowa, lokalna,  
 $c_0 = 2\tau_0 / \rho c_{max}^2$  - lokalny współczynnik tarcia ścianki,  
 $c^* = c / v_x$  - bezwymiarowa prędkość wypadkowa w trójwymiarowej warstwie przyściennej,  
 $H_x = \delta_x^{**} / \delta_x^{***}$  - parametr kształtu,  
 Re - liczba Reynoldsa,  
 $v_x = \sqrt{\frac{T_0}{\rho}}$  - prędkość dynamiczna,  
 y - współrzędna prostopadła do ścianki,  
 $\bar{y} = 2y/b$  - bezwymiarowa odległość od ścianki,  
 $y^+ = y v_x / \nu$  - bezwymiarowa odległość od ścianki w uniwersalnym rozkładzie prędkości,  
 $\alpha$  - kąt przepływu,  
 $\rho$  - gęstość,  
 $\tau_0$  - naprężenie styczne na ścianie,  
 $\nu$  - kinematyczny współczynnik lepkości.

## 1. Wprowadzenie

Praca dotyczy przepływu w równoległotarczowym dyfuzorze bezłopatkowym sprężarki promieniowej. Przepływ ten jest trójwymiarowy ponieważ kąty w

strumieniu zmieniają się, idąc od ścianki do środka kanału, a warstwy przyścienne wypełniają całą szerokość dyfuzora - rys.1. Warstwy przyścienne są na ogół niesymetryczne po szerokości kanału, a punkt maksymalnych prędkości i kątów przesuwają się od jednej ścianki do drugiej idąc wzdłuż drogi przepływu, pojawiają się oderwania strumienia od ścianki a symetria przepływu występuje tylko na niektórych promieniach dyfuzora.

Na podstawie analizy obszernych badań własnych [8,9] przyjęto model teoretyczny przepływu, który zasadniczo charakteryzuje się tym, że rozkłady prędkości są symetryczne po szerokości dyfuzora a oderwania nie występują. Straty wyznaczone teoretycznie dla takiego modelu porównano ze stratami w przepływie rzeczywistym, wyznaczając wpływ warunków napływu i oderwań na ich wielkość [8]. Dla powyższego teoretycznego modelu przepływu opracowano funkcje rozkładów prędkości dla składowej promieniowej i obwodowej, będące modernizacją funkcji Jansena [2]. Modernizacja tych funkcji polegała na wprowadzeniu parametru, który uzależniał te rozkłady od średniego kąta przepływu, mającego szczególnie istotny wpływ na rozkład składowej promieniowej prędkości [8,9]. Tym parametrem okazał się kąt strumienia tuż przy ściance, na granicznej linii prądu, zwany tutaj kątem granicznym  $\alpha_{gr}$  - rys.2. Wartość tego kąta, w zależności od średniego kąta przepływu, została wyznaczona w badaniach przeprowadzonych przez autora [8,9]. Zmodernizowane rozkłady prędkości zostały porównane z profilami uzyskanymi z badań, dla tych przypadków kiedy zachowana była w przybliżeniu symetria profilu po szerokości kanału, uzyskując dobrą zgodność.

Powyższe aproksymowane rozkłady prędkości użyto do wyznaczenia lokalnych współczynników tarcia w oparciu o formułę Ludwiga i Tillmanna [4], słuszną dla dwuwymiarowej warstwy przyściennej. Formułę tę zastosowano dla rozkładu prędkości w płaszczyźnie linii prądu w środku kanału /zgodnie z sugestiami Johnstona [3]/, biegnącej pod kątem  $\alpha_{max}$  /rys.2/, wyznaczając lokalne współczynniki tarcia  $c'_{fx}$ . Znając kąty  $\alpha_{max}$  i  $\alpha_{gr}$  [8,9] można określić naprężenie styczne  $\tau_c$  w kierunku granicznej linii prądu i lokalny współczynnik tarcia  $c'_{f0}$ . Tak wyznaczone naprężenia styczne i rozkłady prędkości zostały wykorzystane w metodzie określania strat dyfuzora [8].

Stosując taką drogę postępowania należy stwierdzić poprawność aproksymacji rozkładów prędkości. Aproksymacja będzie poprawna jeśli rozkłady prędkości będą zgodne z rozkładami uniwersalnymi, które, jak wykazał Pierce i Zimmerman [5], obowiązują również w trójwymiarowej warstwie przyściennej. Ponieważ w formule Ludwiga i Tillmanna występują miary liniowe straty strumienia masy  $\delta_x^*$ , prądu  $\delta_x^{**}$  i parametr kształtu  $H_x = \delta_x^* / \delta_x^{**}$ , a o ich wielkości decyduje głównie rozkład prędkości w rdzeniu turbuletnym, zatem rozkład prędkości powinien przede wszystkim spełniać rozkład uniwersalny - logarytmiczny lub pojedynczą formułę Spaldinga [7] - w obszarze turbulentnym. Można też zagadnienie odwrócić, wyznaczając lokalny współczynnik tarcia  $c'_{f0}$  z przyjętych rozkładów prędkości i rozkładu uniwersalnego, i porównać z wartościami  $c'_{f0}$  uzyskanymi z formuły Ludwiga i Tillmanna. Obydwa te porównania zostaną tutaj przedstawione.



## 2. Podstawowe zależności

Formuła Spaldinga zostanie zapisana dla modelu Prahlada [6], używając prędkość wypadkową  $c$ , bez względu na kierunek, czyli nie sprowadzając trójwymiarowej warstwy przyściennej do dwuwymiarowej

$$y^+ = c^+ \cdot D \left[ e^{\kappa c^+} - 1 - \kappa c^+ - \frac{1}{2} (\kappa c^+)^2 - \frac{1}{6} (\kappa c^+)^3 \right] \quad (1)$$

Wartości stałych  $\kappa$  i  $D$  przyjęto według Coleasa [1]

$$\kappa = 0,41, \quad C = 5,0, \quad D = e^{-\kappa C} \quad (2)$$

Bezwymiarowe wielkości  $c^+$  i  $y^+$  zostaną wyrażone przez przyjęte rozkłady prędkości i lokalne współczynniki tarcia  $c_{f0}^+$  [9]

$$\frac{C_r}{C_{r,max}} = \left[ 1 - A(1 - \bar{y})^2 \right] \bar{y}^{1/40} \quad (3)$$

$$\frac{C_u}{C_{u,max}} = \bar{y}^{1/40} \quad (4)$$

Parametr  $A$  w równaniu [3], związany jest z kątem granicznej linii prądu  $\alpha_{gr}$  i zależy od średniego kąta przepływu  $\bar{\alpha}$ , został przez autora wyznaczony doświadczalnie [8]

$$A = 1 - \frac{\operatorname{tg} \alpha_{gr}}{\operatorname{tg} \alpha_{max}} = f(\bar{\alpha}) \quad (5)$$

Prędkość wypadkowa  $c$ , jako suma składowej promieniowej (3) i obwodowej (4), wykorzystując zależności geometryczne z rys.2, wynosi

$$\frac{C}{C_{max}} = \left\{ \left[ 1 - A(1 - \bar{y})^2 \right] \sin^2 \alpha_{max} + \cos^2 \alpha_{max} \right\}^{1/2} \bar{y}^{1/40} \quad (6)$$

Lokalny współczynnik tarcia ścianki  $c_{f0}^+$ , dla kierunku granicznej linii prądu określonej kątem  $\alpha_{gr}$  (rys.2), zdefiniowany jest następująco

$$c_{f0}^+ = \frac{\tau_0}{\frac{1}{2} \rho c_{max}^2} \quad (7)$$

Wprowadzając do tego wzoru prędkość dynamiczną  $u_n^2 = \tau_0 / \rho$ , otrzymuje się

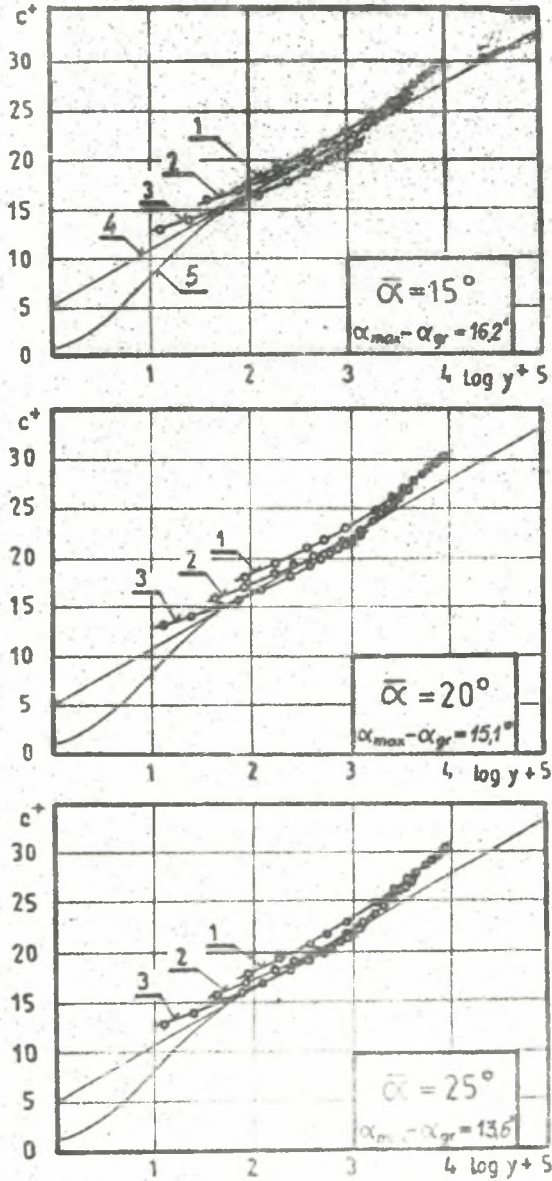
$$u_n = C_{max} \sqrt{\frac{c_{f0}^+}{2}} \quad (8)$$

Używając tej zależności, bezwymiarowa prędkość z równania (1), obliczona będzie następująco

$$c^+ = \frac{C}{C_{max}} \cdot \frac{1}{\sqrt{\frac{c_{f0}^+}{2}}} \quad (9)$$

Wprowadzając do bezwymiarowej odległości od ścianki  $y^+$  zależność [8], otrzymuje się

$$y^+ = \frac{y u_n}{\nu} = Re_y \sqrt{\frac{c_{f0}^+}{2}} \quad (10)$$



Rys. 4. Bezwymiarowe rozkłady prędkości dla trójwymiarowych warstw przyściennych w równoległotarowym dyfuzorze bezłopatkowym dla różnych średnich kątów przepływu  $\bar{\alpha}$  i liczb Reynoldsa  $Re_1$ . Krzywa: 1 -  $Re_1 = 10^6$ ; 2 -  $Re_1 = 4 \cdot 10^5$ ; 3 -  $Re_1 = 10^5$ ; 4 - logarytmiczny rozkład prędkości; 5 - według formuły Spaldinga (1)

gdzie przez liczbę Reynoldsa  $Re_y$  oznaczono

$$Re_y = \frac{y c_{max}}{\nu} \quad (11)$$

którą powiązano z liczbą Reynoldsa

$$Re = \frac{c_{max} \cdot 2b}{\nu} \quad (12)$$

stąd

$$Re_y = \frac{y \cdot c_{max}}{\nu} = \frac{c_{max} \cdot 2b}{\nu} \cdot \frac{y}{2b} = \frac{Re}{4} \bar{y} \quad (13)$$

Poza tym liczbę  $Re$  powiązano z liczbą Reynoldsa opartą na średniej prędkości przepływu  $\bar{c}$ , używaną w pracy [9] -  $Re_1 = 2b\bar{c}/\nu$ .

Ostatecznie bezwymiarowa odległość  $y^+$  wyliczona będzie następująco

$$y^+ = \frac{Re}{4} \bar{y} \sqrt{\frac{c'_{fo}}{2}} \quad (14)$$

Wyznaczone w powyższy sposób bezwymiarowe wielkości  $c^+$  i  $y^+$  naniesiono na wykres i porównano z logarytmicznym rozkładem prędkości i formułą Spaldinga - rys.4.

Odwracając teraz zagadnienie lokalne współczynniki tarcia można wyznaczyć z formuły Spaldinga, wykorzystując przyjęty rozkład prędkości (6). Mnożąc równanie (1) przez  $c^+$ , lewa strona przyjmie postać

$$c^+ y^+ = \frac{c}{\nu_R} \cdot \frac{y \nu_R}{\nu} = \frac{y c}{\nu} \quad (15)$$

1 dalej

$$\frac{c y}{\nu} = \frac{c}{c_{max}} \cdot \frac{y c_{max}}{\nu} = \frac{c}{c_{max}} Re_y = \frac{c}{c_{max}} \cdot \frac{Re}{4} \bar{y} \quad (16)$$

Ostatecznie formułę Spaldinga można zapisać następująco

$$\frac{c}{c_{max}} \cdot \frac{Re}{4} \bar{y} = (c^+)^2 + c^+ D \left[ e^{\kappa c^+} - 1 - \kappa c^+ - \frac{1}{2} (\kappa c^+)^2 - \frac{1}{6} (\kappa c^+)^3 \right] \quad (17)$$

Z rozwiązania tego równania otrzymuje się  $c^+$ , a wykorzystując zależność (9) można wyliczyć  $c'_{fo}$ . Tak wyznaczone lokalne współczynniki tarcia zostaną porównane z wartościami uzyskanymi z formuły Ludwiga i Tillmanna w pracy [9] - rys.3.

### 3. Wyniki obliczeń i wnioski

Obliczenia przeprowadzono dla zakresu liczb Reynoldsa  $Re_1 = 10^5 - 10^6$  i średniego kąta przepływu  $\bar{\alpha} = 5^\circ + 90^\circ$ . Tutaj przedstawiono wyniki dla  $\bar{\alpha} = 15^\circ + 25^\circ$ , to jest wartości najczęściej występujących w sprężarkach i dmuchawach - rys. 3 i 4. Kolejne punkty na rys.4 dotyczą odległości od ścianki  $\bar{y} = 2y/b = 0,01; 0,02; 0,06; 0,1; 0,2; \dots 1,0$ . Z rys.4. wynika, że przyjęte funkcje rozkładów prędkości (3), (4) i (6) na ogół dość dobrze pokrywają się z logarytmicznym rozkładem prędkości czy pojedynczą formułą Spaldinga dla danego zakresu liczb Reynoldsa. Jednak tuż przy ściance prędkości te są nieco za wysokie. Najlepszą zgodność uzyskano dla  $Re_1 = 10^5$  i  $4 \cdot 10^5$ . Natomiast dla  $Re_1 = 10^6$  w całym prawie zakresie przy-

jęte rozkłady prędkości leżą powyżej rozkładu logarytmicznego. Konsekwencją takich rozkładów jest to, że wyznaczone z nich lokalne współczynniki tarcia ścianki  $c'_{f0}$ , w oparciu o formułę Ludwiga i Tillmanna, są za duże przy małych kątach  $\bar{\alpha}$  dla  $Re_1 = 10^5$ , natomiast za małe dla większych liczb Reynoldsa, szczególnie przy  $Re_1 = 10^6$ . Dla zakresu występujących w sprężarkach i dmuchawach średnich kątów przepływu  $\bar{\alpha} = 10^\circ \div 35^\circ$  różnice między przyjętym rozkładem prędkości a rozkładem logarytmicznym, a w konsekwencji w lokalnych współczynnikach tarcia, sięgają od +6% przy  $Re_1 = 10^5$  i  $\bar{\alpha} = 10^\circ$  do -11% przy  $Re_1 = 10^6$  i  $\bar{\alpha} = 35^\circ$ . Aproksymację rozkładów prędkości (3), (4) i (6) ustalono z badań w zakresie liczb Reynoldsa  $Re_1 = 10^5 \div 4 \cdot 10^5$  [8], stąd też w tym zakresie uzyskano najlepszą zgodność.

W analizowanych tutaj przepływach trójwymiarowości, określona różnicą kątów w środku kanału i przy ścianie ( $\alpha_{max} - \alpha_{gr}$ ), była umiarkowana, np. dla  $\bar{\alpha} = 15^\circ - (\alpha_{max} - \alpha_{gr}) \approx 16^\circ$ . Analiza wskazuje, że dla tego zakresu trójwymiarowości oraz liczb Reynoldsa  $10^5 \div 10^6$ , przyjęte rozkłady prędkości dość dobrze są zgodne z rozkładami uniwersalnymi dla dwuwymiarowych warstw przyściennych dla obszaru rdzenia turbulentnego w pobliżu ścianki. W zewnętrznej części rdzenia turbulentnego rozkłady prędkości odbiegają od rozkładu logarytmicznego czy formuły Spaldinga. Ujawnia się tam wpływ gradientu ciśnienia, szczególnie dla  $Re_1 = 10^6$  i  $\bar{\alpha} > 10^\circ$ .

#### Literatura

1. Coles D. - The law of the Wake in the Turbulent Boundary Layer. Journal of Fluid Mechanics, Vol. 1, 1956.
2. Jansen W. - Steady Fluid in a Radial Vaneless Diffuser. Trans. of the ASME. Journal of Basic Engineering. September 1964, pp. 607.
3. Johnston J. - On the Three-Dimensional Boundary Layer Generated by Secondary Flow. Journal of Basic Engineering. Trans. ASME, Series D, Vol. 82, No 1, March 1960, p. 233.
4. Ludwig H., Tillmann W. - Untersuchungen über die Wandschubspannung in turbulenten Reibungsschichten. Ing. Archiv 17/1949, 288-299.
5. Pierce F.J., Zimmerman B.B. - Wall Shear Stress Inference From Two and Three-Dimensional Turbulent Boundary Layer Velocity Profiles. Journal of Fluids Engineering, March - 1973, Trans. ASME, p. 61
6. Prahlad T.S. - Wall Similarity in Three-Dimensional Turbulent Boundary Layer. AIAA Journal, Vol. 6, 1968.
7. Spalding D.B. - A Single Formula for the law of the Wall. Journal of Applied Mechanics. Vol. 28, Trans. ASME, Vol. 83, Series E, No 3, Sept. 1961, p. 455
8. Walczak J. - Metoda obliczania przepływu czynnika nieściśliwego w równoległotarcowym dyfuzorze bezłopatkowym dla modelu z rozwiniętymi warstwami przyściennymi. Politechnika Poznańska. Rozprawy Nr 93, Poznań 1976.
9. Walczak J., Cichon L. - Analiza rozkładów prędkości w promieniowym dyfuzorze równoległotarcowym. Zeszyty Naukowe Politechniki Poznańskiej. Seria - Maszyny Robocze i Pojazdy. Nr 17. Poznań, 1979r.

Recenzent: Prof. dr hab. inż. Tadeusz Chmielniak

РАСПРЕДЕЛЕНИЕ СКОРОСТИ И КАСАТЕЛЬНЫХ НАПРЯЖЕНИИ  
НА СТЕНКЕ ТРЁХМЕРНОГО ТУРБУЛЕНТНОГО ГРАНИЧНОГО СЛОЯ  
ПРИ ТЕЧЕНИИ ЧЕРЕЗ ПАРАЛЛЕЛЬНО-ДИСКОВОЙ БЕЗОЛОПАТОЧНЫЙ ДИФфуЗОР

Р е з ю м е

В настоящей работе автора [8] опытные распределения скоростей, для трёхмерного граничного слоя, выступающие в параллельно-дисковом безлопаточном диффузоре, аппроксимированы соответственными формулами возведения в степень. На основе этих распределений возведения степеней, а также формул Лидвига и Тиллмана, разработанной для двухмерного граничного слоя, определены местные коэффициенты трения на стенке. В настоящей статье проведена оценка в какой мере универсальным распределениям скоростей соответствуют, определённые автором, степени возведения скоростей для трёхмерного граничного слоя. Мы воспользовались при этом работами Пирса и Циммермана [5], которые показывают, что также для трёхмерного граничного слоя obowiązывают универсальные распределения скоростей в таком же виде, как и для двухмерных слоёв.

Из проведенного здесь анализа следует, что принятые возведения в степень распределения скоростей, и определённые из них местные коэффициенты трения стенки [8], для объёма чисел Рейнольдса, выступающих и безлопаточных диффузорах центробежных компрессоров и воздуходувок, показывают хорошее согласование с универсальным (логарифмическим) законом распределения скоростей.

VELOCITY DISTRIBUTIONS AND TANGENTIAL STRESSES ON THE WALL  
OF A THREE-DIMENSIONAL TURBULENT BOUNDARY LAYER IN THE FLOW  
THROUGH A PARALLEL-DISK VANELESS DIFFUSER

S u m m a r y

In the author's paper [8], experimental distributions of velocity for a three-dimensional boundary layer, occurring in a parallel-disk vaneless diffuser, are approximated by corresponding power formulae. On the basis of these power distributions as well as of Ludwig and Tillmann's formula, elaborated for the three-dimensional boundary layer, local friction coefficients on the wall are determined. Whereas in the after-mentioned paper, it is estimated to what degree power distributions of velocity for the three-dimensional boundary layer, determined by the author satisfy universal distributions of velocity. Herein, Pierce and Zimmerman's work [5] has been utilized; they show that universal velocity distributions are also obligatory in the three-dimensional boundary layer in the same form as for the two-dimensional layer. It results from the herein performed analysis that the assumed power distributions of velocity and local friction coefficients of the wall [8], for the range of Reynolds number occurring in diffusers of vaneless radial compressors and blowers, are in quite good conformity with the universal logarithmic velocity distribution law.